

秋田大学 正。薄木征三
秋田大学 学 今野 隆一

1. 考え方

土木構造物の耐風応答の問題は、長大つり橋、斜張橋をはじめ、構造物の大型化とともに設計上大きな要素となる。風による、これらの構造物の振動応答を定量的に評価することは、極めて困難な問題であるが、従来のこの方面の研究は大別すると2つの主要な方向に分類されるよう。すなはち1つは部分模型による風洞実験であり、他の1つは構造物と流体の相互干渉現象をアーロンソンに基づく数学モデル（非線形振動子）に置きかえて説明せんとするもの、あるいは流体を完全流体と見なし、自由流線理論や流体モデルを仮想することで説明せんとするものである（以上は1つから風琴振動の観点からの分類である）。1からながら後者の理論的研究は、アーロンソンや流体力学的假説に基づく便宜的な説明であり、本質的な現象解明には寄与するものではない。

本報告は、非圧縮性流体の中に置かれた構造物の振動応答を、有限要素法を用いて数値実験の立場から現象の解明にアプローチしようとするものである。その定式過程につけて以下報告する。

2. 基礎方程式

非圧縮、粘性流体の基礎方程式は

$$\frac{\partial u_i}{\partial x_j} = 0 \quad \dots \dots \dots (1)$$

$$\rho \frac{\partial u_i}{\partial t} + \rho u_j \frac{\partial u_i}{\partial x_j} + \frac{\partial P}{\partial x_i} - \frac{\partial T_{ij}}{\partial x_j} = 0 \quad \dots \dots \dots (2)$$

ここで u_i = 流速、 ρ = 密度、 P = 圧力、 T_{ij} = 材料応力であり簡単のため物体力を略すとする。また記述を簡単にすらめ以下2次元問題を対象とする。図-1で、 (x_1, x_2) 座標を静止座標、 (\bar{x}_1, \bar{x}_2) を動座標とし、後者は構造物の横断面に固定されており。この (\bar{x}_1, \bar{x}_2) 座標原点 O' は静止座標に対して速度 Q 、角速度 ω で動いておりとす。動座標系のうちみた流体の速度を \bar{u}_i とす。

$$u_i = a_i + (\bar{u}_j + \omega d_{jm} \bar{x}_m) \beta_{ji} \quad \dots \dots \dots (3)$$

a_i は Q の i 方向成分、 β_{ji} は \bar{x}_j 軸と x_i 軸のなす角の余弦である。また $d_{jm} = j - m$ ($j, m = 1, 2$) である。テヌソルの座標変換則

$$\frac{\partial P}{\partial x_i} = \beta_{ji} \frac{\partial P}{\partial \bar{x}_j}, \quad \frac{\partial T_{ij}}{\partial x_j} = \beta_{mj} \frac{\partial T_{ij}}{\partial \bar{x}_m} = \beta_{ri} \beta_{sj} \beta_{mj} \frac{\partial T_{rs}}{\partial \bar{x}_m}, \quad \frac{\partial \bar{x}_i}{\partial x_j} = \beta_{ji} \quad \dots \dots \dots (4)$$

なども用いると、動座標系 (\bar{x}_1, \bar{x}_2) からみて連続の式(1)と運動の式(2)は次のようにならう。

$$\frac{\partial \bar{u}_i}{\partial \bar{x}_j} = 0 \quad \dots \dots \dots (5)$$

$$\rho \frac{\partial}{\partial \bar{x}_i} \{ a_i + (\bar{u}_j + \omega d_{jm} \bar{x}_m) \beta_{ji} \} + \rho \bar{u}_j \frac{\partial}{\partial \bar{x}_j} \{ a_i + (\bar{u}_j + \omega d_{jm} \bar{x}_m) \beta_{ji} \} + \beta_{ri} \frac{\partial P}{\partial \bar{x}_j} - \beta_{ri} \beta_{sj} \beta_{mj} \frac{\partial T_{rs}}{\partial \bar{x}_m} = 0 \quad \dots \dots \dots (6)$$

次に式(3)と式(6)を用いて動座標系のうちみた有限要素(図-1)の定式を行えよう。このとき有限要素は、動座標系に固定されており、静止座標系に対して運動しておらずことに注意する。

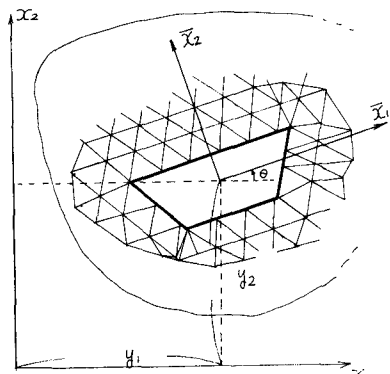


図-1. 振動する遊合形箱りたまわりの要素分割

$\delta'(S) = -\delta P$ を乗じ、 $\delta'(B) = \delta U_i = \beta_{ij} \delta \bar{U}_j$ ($i, j = 1, 2$) を乗じて加えあわせ、要素の動座標における領域 V における積分する。つまり Gauss の定理を適当に（参考で 113 頁基条件に応じて）利用する。以下では領域 V の表面 \bar{S} で流速 $\bar{U}_i + \epsilon$ に対する $\bar{\delta}_{ij} = -\rho \delta_{ij} + \bar{\epsilon}_{ij}$ の関係を用いて示す。

$$\int_V \frac{\partial P}{\partial \bar{x}_j} \delta \bar{U}_i dV = \int_S \bar{U}_j P \delta \bar{U}_i dS - \int_V \rho \frac{\partial \bar{U}_i}{\partial \bar{x}_j} dV, \quad \int_V \frac{\partial \bar{\epsilon}_{rs}}{\partial \bar{x}_j} \delta \bar{U}_i dV = \int_S \bar{\epsilon}_{rs} \bar{\epsilon}_{ij} \delta \bar{U}_i dS - \int_V \bar{\epsilon}_{rs} \delta \frac{\partial \bar{U}_i}{\partial \bar{x}_j} dV \quad \dots (7)$$

用いて、以上の操作と向余弦の性質 $\beta_{ri} \beta_{sj} = 1$ ($r=s$) も $\epsilon_{rs}=0$ ($r \neq s$) を利用すれば式(7)は得られる。

$$\begin{aligned} & \int_V \rho \beta_{ri} \frac{\partial \bar{U}_i}{\partial t} \delta \bar{U}_j dV + \int_V \rho \frac{\partial \bar{U}_i}{\partial t} \delta \bar{U}_j dV + \int_V \rho (\omega_{dfm} \bar{z}_m - \omega^2 \bar{x}_j) \delta \bar{U}_j dV + \int_V \rho \bar{U}_i \frac{\partial \bar{U}_i}{\partial \bar{x}_j} \delta \bar{U}_j dV + \int_V \rho \omega_{dfm} \bar{z}_m \delta \bar{U}_j dV \\ & - \int_V \rho \frac{\partial \bar{U}_i}{\partial \bar{x}_j} dV - \int_V \delta \bar{U}_i \frac{\partial \bar{U}_i}{\partial \bar{x}_j} dV + \int_S \bar{\epsilon}_{ij} \frac{\partial \bar{U}_i}{\partial \bar{x}_j} dV + \int_S \bar{\rho}_{ij} \delta \bar{U}_i dS - \int_S \bar{\epsilon}_{ij} \bar{\epsilon}_{ij} \delta \bar{U}_i dS = 0 \end{aligned} \quad \dots \dots \dots (8)$$

ここで $\bar{U}_j = \bar{U}_j^0 + \delta \bar{U}_j$, $P = P_0 + \delta P$ と $i=1$ 以上の大要素 E を省略すれば、次の実数 F が得られる。左端の量のうち、各要素の質量は停留値であり変化には関係ない、指標の右の量のみが変化に従う。

$$\begin{aligned} & -\frac{1}{2} \frac{\partial}{\partial t} \int_V \rho \delta \bar{U}_i \delta \bar{U}_j dV + \int_V \rho \beta_{ij} \frac{\partial \bar{U}_i}{\partial t} \delta \bar{U}_j dV + \int_V \rho \frac{\partial \bar{U}_i^0}{\partial t} \delta \bar{U}_j dV + \int_V \rho (\omega_{dfm} \bar{z}_m - \omega^2 \bar{x}_j) \delta \bar{U}_j dV + \int_V \rho \bar{U}_i \frac{\partial \bar{U}_i^0}{\partial \bar{x}_j} \delta \bar{U}_j dV \\ & + \int_V \rho \omega_{dfm} \bar{z}_m \delta \bar{U}_j dV - \int_V \rho \frac{\partial \bar{U}_i}{\partial \bar{x}_j} dV + \int_S \bar{\epsilon}_{ij} \frac{\partial \bar{U}_i}{\partial \bar{x}_j} dV + \int_S \bar{\rho}_{ij} \bar{U}_i dS - \int_S \bar{\epsilon}_{ij} \bar{U}_j dS = \delta F \end{aligned} \quad \dots \dots \dots (9)$$

3. 有限要素法への応用

動座標系における要素節点の位置 $\bar{x} + \bar{\delta}\bar{x}$ 、圧力を δP とすれば、全速度ベクトル \bar{v} は $\{v\} = [B] \{\bar{v}\}$ と表わされる。 $[B]$ は $\{\bar{v}\} = [N] \{\bar{v}\}$ と表記される。また動座標系における構成方程式は静止座標系における同じ（直角座標で表される）であり、 $\{v\} = [D] \{e\} = [D] [B] \{\bar{v}\}$ と表わされ、よって

$$[D] = \mu \begin{bmatrix} 2 & 2 & 0 \\ 0 & 2 & 0 \\ 0 & 0 & 1 \end{bmatrix}$$

である。式(9)を $\{v\}, \{e\}, \{T\}$ の形で用いる場合、 $\delta F / \delta \{v\} = 0$, $\delta F / \delta \{P\} = 0$ が得られ、 $\bar{v}^0 = \bar{v}$, $\delta P^0 = \delta P$ とあることの意味の式と運動の方程式である。

$$\begin{aligned} & \int_V \rho [N]^T [N] dV \cdot \{v\} + \int_V \rho [N]^T \left(\sum_{i=1}^3 \frac{\partial [N]}{\partial \bar{x}_i} \cdot \bar{\epsilon}_{ij} [T]_j \right) [N] dV \cdot \{v\} - \int_V [B]^T [J]^T [C] dV \cdot \{P\} + \int_V [B]^T [D] [CB] dV \cdot \{v\} \\ & = \int_S \rho [N]^T [D] dS + \int_S [N]^T [CS] dS \cdot \{v\} - \int_V \rho [N]^T [T] \cdot \{v\} dV - \int_V \rho [N]^T [W] \cdot \{v\} dV - \int_V \rho \omega [N]^T [E] [N] dV \cdot \{v\} \\ & \int_V [C]^T [J]^T [B] dV \cdot \{v\} = 0 \end{aligned} \quad \dots \dots \dots (10)$$

$$[v] = \begin{bmatrix} -\omega^2 & \dot{\omega} \\ \dot{\omega} & -\omega^2 \end{bmatrix}, \quad [E] = \begin{bmatrix} 0 & -1 \\ 1 & 0 \end{bmatrix}, \quad [T] = \begin{bmatrix} \beta_{11} & \beta_{12} \\ \beta_{21} & \beta_{22} \end{bmatrix}, \quad [S] = \begin{bmatrix} \bar{J}_1 & 0 & \bar{J}_2 \\ 0 & \bar{J}_2 & \bar{J}_1 \end{bmatrix}, \quad [J] = \begin{bmatrix} 1 \\ 1 \\ 0 \end{bmatrix}$$

ここで $[T]_1 = [1 \ 0]$, $[T]_2 = [0 \ 1]$ である。次に流体が構造物に及ぼす力は、 $\bar{F} = -1 \times x_1, \bar{F}_2 \times x_2$ の並進運動と O 軸まわりの回転運動を生じるため \bar{F} の力 $\bar{F}_{ij} = -\rho \delta_{ij} + \bar{\epsilon}_{ij}$ から構造物の運動方程式

$$[M] \{d\} + [D] \{d\} + [K] \{d\} = - \int_A \rho [G] [T] \cdot \bar{F} dA + \int_A [G] [T]^T \bar{F} dA \quad \dots \dots \dots (11)$$

ここで $\{d\} = \{y_1, y_2, \theta\}$ であり、 y_1 は O 軸方向の変位、 θ は O 軸まわりの回転角である。また

$$[M] = \begin{bmatrix} M & M^0 \\ 0 & I \end{bmatrix}, \quad [H] = \begin{bmatrix} C_1 & C_1^0 \\ 0 & C_1 \end{bmatrix}, \quad [K] = \begin{bmatrix} K_1 & K_1^0 \\ 0 & R \end{bmatrix}, \quad [G] = \begin{bmatrix} 1 & 0 \\ 0 & 1 \end{bmatrix}$$

であり、 M, I は構造物の質量と剛性マトリクス、 C_1, C_1^0 は構造減衰定数、 K_1, R は並進及び回転に付随する剛性マトリクスである。したがって式(10), (11), (12)を連立して解くことで構造流体中の構造物の応答を数値的に追跡できる。